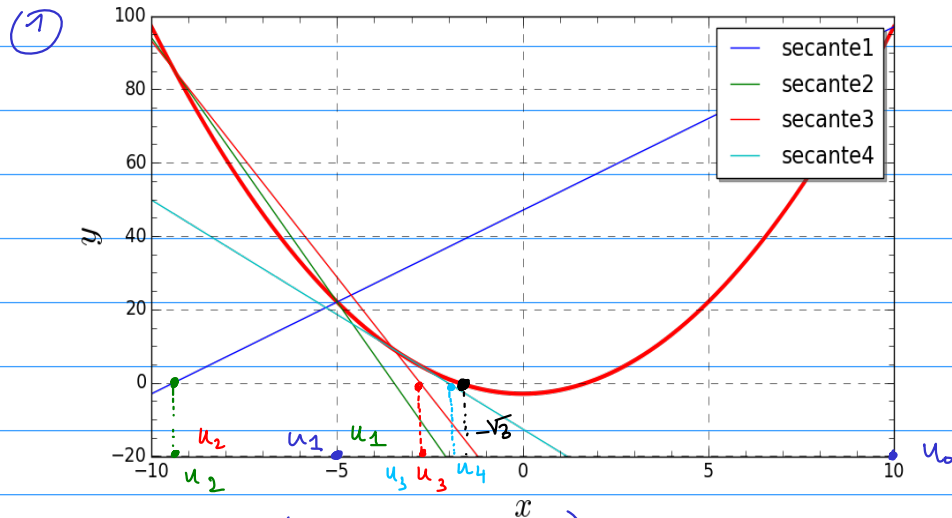


TP CN1
Corrigé

T1 - Méthode la sécante

$f: x \rightarrow x^3 - 3$



La suite $(u_n)_{n \in \mathbb{N}}$ de zéro des sécantes successives à la courbe \mathcal{C}_f semble converger vers le zéro de f (ici $\sqrt{3}$)

(2) $u_n = g(u_{n-1}, u_{n-2})$

$u_n =$ zéro de la sécante à f en $M_{n-1}(u_{n-1}, f(u_{n-1}))$ et $M_{n-2}(u_{n-2}, f(u_{n-2}))$.

$h(u_n) = 0$ (*) avec $h: x \rightarrow h(x)$ équation de Δ .

Equation de Δ ?

Δ est une droite \Leftrightarrow la affine soit $h(x) = ax + b$
a et b ?

$$\begin{cases} M_{n-1} \in \Delta : f(u_{n-1}) = a u_{n-1} + b & (1) \\ M_{n-2} \in \Delta : f(u_{n-2}) = a u_{n-2} + b & (2) \end{cases}$$

(1) - (2) : $f(u_{n-1}) - f(u_{n-2}) = a(u_{n-1} - u_{n-2})$

$$\Leftrightarrow a = \frac{f(u_{n-1}) - f(u_{n-2})}{u_{n-1} - u_{n-2}}$$

(1) \Rightarrow $b = f(u_{n-1}) - a u_{n-1}$

(*) $\Rightarrow a u_n + b = 0 \Leftrightarrow u_n = -\frac{b}{a}$

③ def zero_secante(f, u0, u1, e):
 u, v = u0, u1 # initialisation.
 while abs(v-u) >= e:
 a = (f(u)-f(v))/(u-v) # u : u_{m-2}, v = u_{m-1}
 b = f(u) - a*u
 z = -b/a
 u = v
 v = z
 return z

```
def zero_secante(f,u0,u1,e):
    """
    Find a zero of the function f with an assumed precision of e
    performing Lagrange's method
    f : function
    u0,u1 : float, starting points for Lagrange's method
    e: float, assumed gap between z and the real zero of f
    z: float, approximate returned value of the zero of f
    -----Minimal example-----
    f=lambda x:x**2-2
    zero_secante(f,0,10,1e-3)
    [returned value : 1.4142182573490736]
    -----
    """
    u,v=u0,u1
    while abs(v-u)>e:
        a=(f(u)-f(v))/(u-v)
        b=f(u)-a*u
        z=-b/a
        u=v
        v=z
    return z
```

④ Evaluation de $\sqrt{3}$ à $2^{-52} \approx 2 \times 10^{-16}$ près :

Appel de la fonction zero-secante.

```
f=lambda x:x**2-3
```

```
print(zero_secante(f,0,3,2e-16))
```

1.7320508075688772

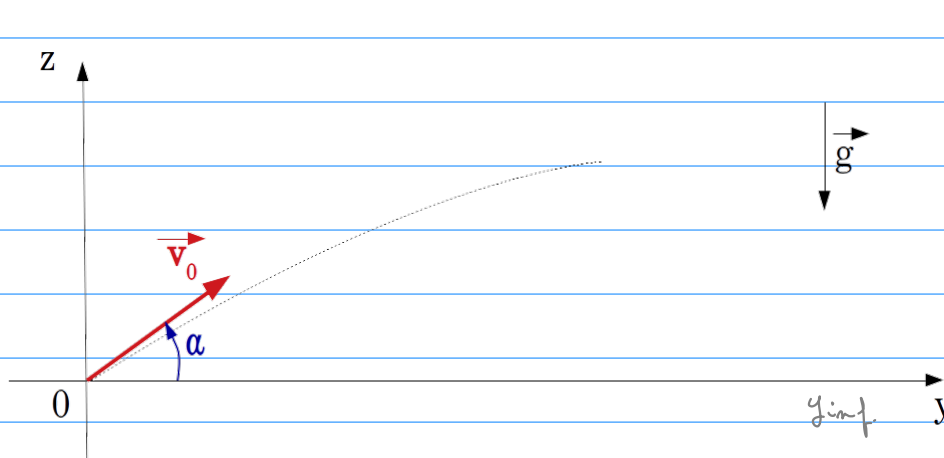
Bonus : est-ce que ϵ est bien la précision sur le zéro de f ?

Test pour $f: \mathbb{R} \rightarrow \mathbb{R}, x \rightarrow x^2 - 3$

| ϵ | z | $\text{sqrt}(3)$ | en cm effective |
|------------|--------------------|--------------------|-------------------------|
| 1 | 1.5 | 1.7320508075688772 | $\sim 0,2$ |
| 0.1 | 1.7272727272727273 | 1.7320508075688772 | $\sim 0,005$ |
| 0.01 | 1.731958762886598 | 1.7320508075688772 | $\sim 0,0001$ |
| 0.001 | 1.7320509347060415 | 1.7320508075688772 | $\sim 10^{-7}$ |
| 0.0001 | 1.7320509347060415 | 1.7320508075688772 | $\sim 10^{-7}$ |
| 1e-05 | 1.732050807565499 | 1.7320508075688772 | $\sim 10^{-12}$ |
| 1e-06 | 1.732050807565499 | 1.7320508075688772 | $\sim 10^{-12}$ |
| 1e-07 | 1.7320508075688772 | 1.7320508075688772 | $\sim 10^{-16}$ |
| 1e-08 | 1.7320508075688772 | 1.7320508075688772 | ↑ précision machine. |
| 1e-09 | 1.7320508075688772 | 1.7320508075688772 | |
| 1e-10 | 1.7320508075688772 | 1.7320508075688772 | |
| 1e-11 | 1.7320508075688772 | 1.7320508075688772 | |
| 1e-12 | 1.7320508075688774 | 1.7320508075688772 | |
| 1e-13 | 1.7320508075688774 | 1.7320508075688772 | |
| 1e-14 | 1.7320508075688774 | 1.7320508075688772 | |
| 1e-15 | 1.7320508075688774 | 1.7320508075688772 | |
| 1e-16 | 1.7320508075688772 | 1.7320508075688772 | |

Sur cet exemple, on constate que la précision effective sur la valeur de $\sqrt{3}$ est nettement meilleur que ϵ .

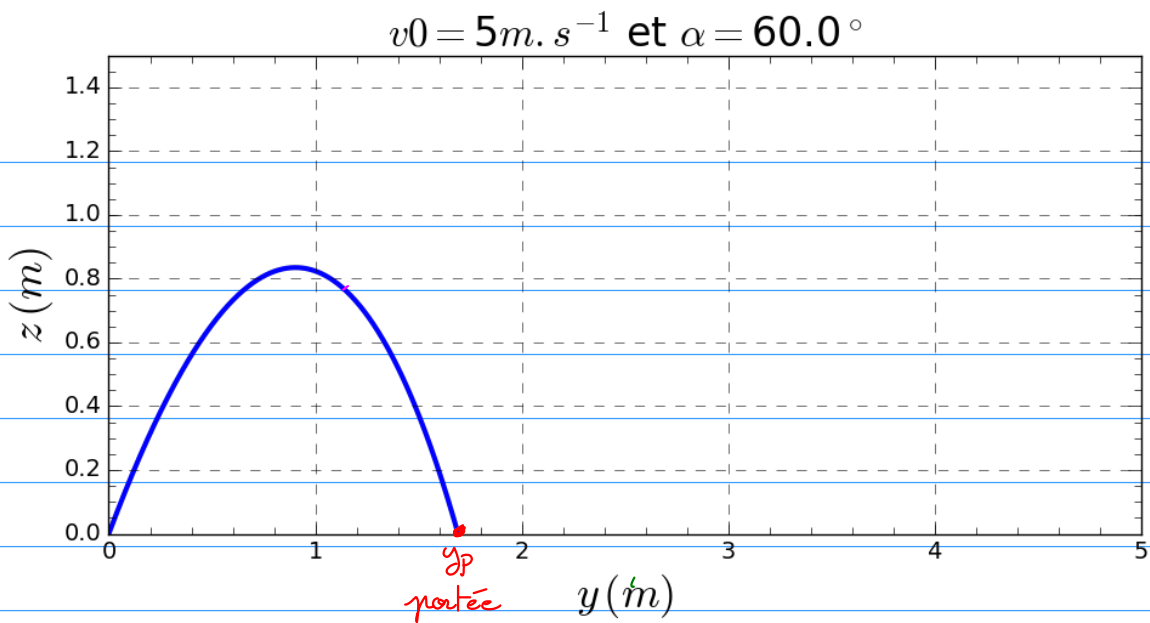
I3 - Tir de projectile



$$y_{\max} = v_0 \cos \alpha$$

$$z = m \Delta$$

$$z(y) = (gy^2 + v_0 \sin \alpha y) / g_{\max} - g y^2 \times \ln \left(\frac{y_{\max}}{y_{\max} - y} \right)$$



#Parametres constants

$g=9.81 \text{ m.s}^{-2}$

$l=0.5 \text{ N.m}^{-1}$

$m=1 \text{ kg}$

$\tau=m/l$

$v_0=5$

def trajectoire(y):

"""

Return $z(y)$, trajectory of a projectile submitted to gravity and a linear air resistance given initial conditions $y(0)=0$, $z(0)=0$, $dy/dt(0)=v_0 \cdot \cos(\alpha)$, $dz/dt(0)=v_0 \cdot \sin(\alpha)$

v_0 : float, initial velocity

α : float, angle between horizontal plan and initial velocity

y : 1D-array, abscissa

$z(y)$: 1D-array altitude

Parameters v_0, α, τ, g must be defined as global variables outside the function

"""

$y_{inf}=v_0 \cdot \cos(\alpha) \cdot \tau$

return $(g \cdot \tau^2 + v_0 \cdot \sin(\alpha) \cdot \tau) \cdot (y/y_{inf}) - g \cdot \tau^2 \cdot \ln(y_{inf}/(y_{inf}-y)) \cdot z(y)$

#Trajectoire

$\alpha=\pi/3$

plt.figure()

$y_{inf}=v_0 \cdot \cos(\alpha) \cdot \tau$; $\#y \leq y_{inf}$

$y=\text{np.linspace}(0, y_{inf}, 100000, \text{endpoint}=\text{False})$;

$z=\text{trajectoire}(y)$;

plt.xlabel(r'\$y \backslash, (m)\$')

plt.ylabel(r'\$z \backslash, (m)\$')

plt.title(r'\$v_0 = \$'+ '{ }'.format(v_0)+r'\$ \text{m.s}^{-1}\$'+ ' et '+ r'\$ \alpha = \$'+ '{ }'.format(round(alpha*180/pi)))

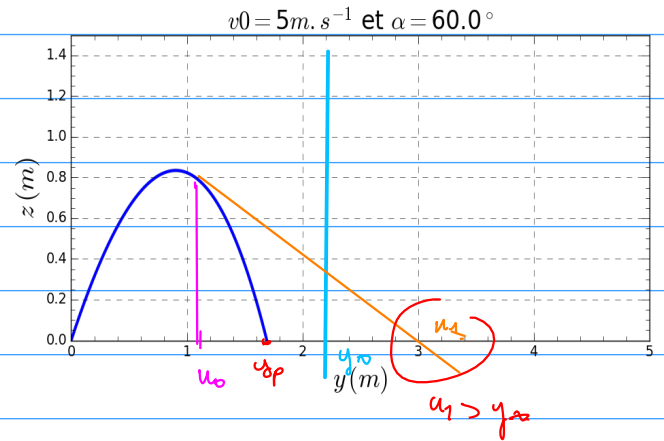
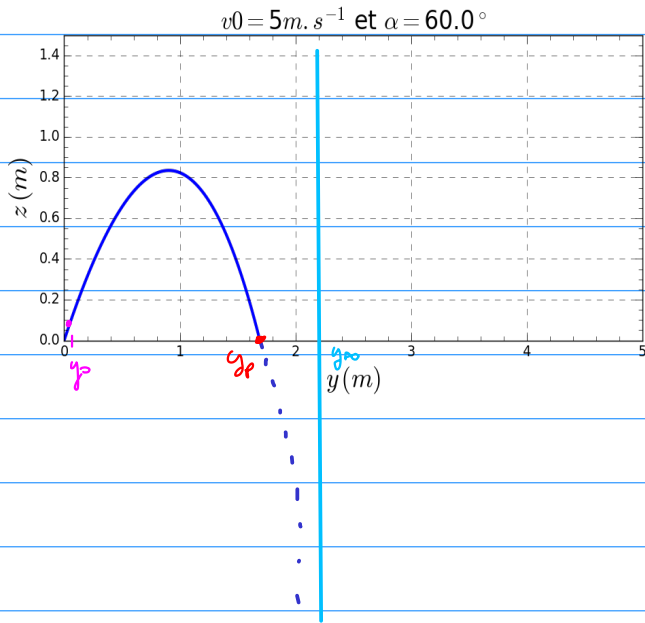
plt.ylim(0,1.5)

plt.plot(y,z,lw=3)

plt.savefig('I3_trajectoire.png',transparent=True)

2. portée du tir.

2.1. Détermination de la portée du tir. = trouver le zéro y_p de la trajectoire. Newton ou dichotomie ?



La méthode de Newton risque de conduire à une sortie du domaine de définition de $z: y \rightarrow z(y)$ si u_0 est trop éloigné de y_p .
On évite donc cette méthode.

On sait que $\forall t, y < y_0$ et $\forall t > 0, y > 0$
donc la portée peut-être recherchée par dichotomie sur l'intervalle $[y_0, y_0]$ avec y_0 aussi petit que l'on souhaite.

2.2) def portee(m,l,v0,alpha,e):

"""

Calculate the impact point coordinate given the initial velocity's module v_0 and its angle relative to the ground level.

"""

$g=9.81$

$\text{tau}=m/l$

$y_inf=v_0*\text{np.cos}(\text{alpha})*\text{tau}$

$\text{traj}=\text{lambda } y:(g*\text{tau}**2+v_0*\text{np.sin}(\text{alpha})*\text{tau})*(y/y_inf)-g*\text{tau}**2*\text{np.log}(y_inf/(y_inf-y))$

$y_p=\text{op.bisect}(\text{traj},e,y_inf-e,\text{xtol}=e)$

return y_p

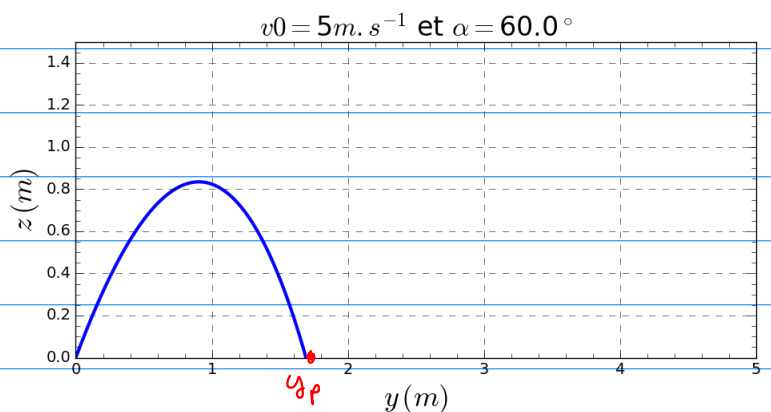
- $z(y)$ diverge en y_inf donc ne doit pas être évaluée en ce point.
 - $z(0)=0$ donc la condition $f(a)f(b) < 0$ n'est pas respectée.
- recherche de y_p sur $[e, y_0 - e]$

2.3) Essai de la fonction portee.

```
#application
g=9.81#m.s-2
l=0.5#N.m-1.s
m=1#kg
v0=5#m.s-1
alpha=np.pi/3
e=1e-3
y_inf=v0*np.cos(alpha)*tau
yp=portee(m,l,v0,alpha,e)
print('yp={}/+/-{}/ m'.format(round(yp,int(-np.log10(e))),e))
```

Output : $yp=1.692\pm 0.001$ m

Cohérent avec le graphe



3. Angle de portée maximale

```
3.1. def maxi(l):
    n=len(l)
    m=l[0];im=0
    i=1
    while i<n:
        if l[i]>m:
            m=l[i];im=i
        i+=1
    return m,im
```

Renvoie le max m et l'indice im du max d'une liste.

```
3.3) def portee_max(m,l,v0,N):
```

```
    """
    Calculate the angle  $\alpha$  for which, given initial velocity module,
    a projectile of mass  $m$ , submitted to air resistance of coefficient  $l$ , reach the furthest impact
    Also return the impact point coordonnate  $ypm$ .
    """
```

```
    yps=[]
    alphas=np.linspace(np.pi/(2*N),np.pi/2,N,endpoint=False)#bisect non applicable si  $\alpha=0$ 
    for alpha in alphas:
        yp=portee(m,l,v0,alpha,e=1e-6)
        yps.append(yp)
    ypm,index=maxi(yps);alphan=alphas[index]
    return ypm,alphan
```

6. Influence de v_0 sur l'angle α_m assurant une portée maximale du tir.

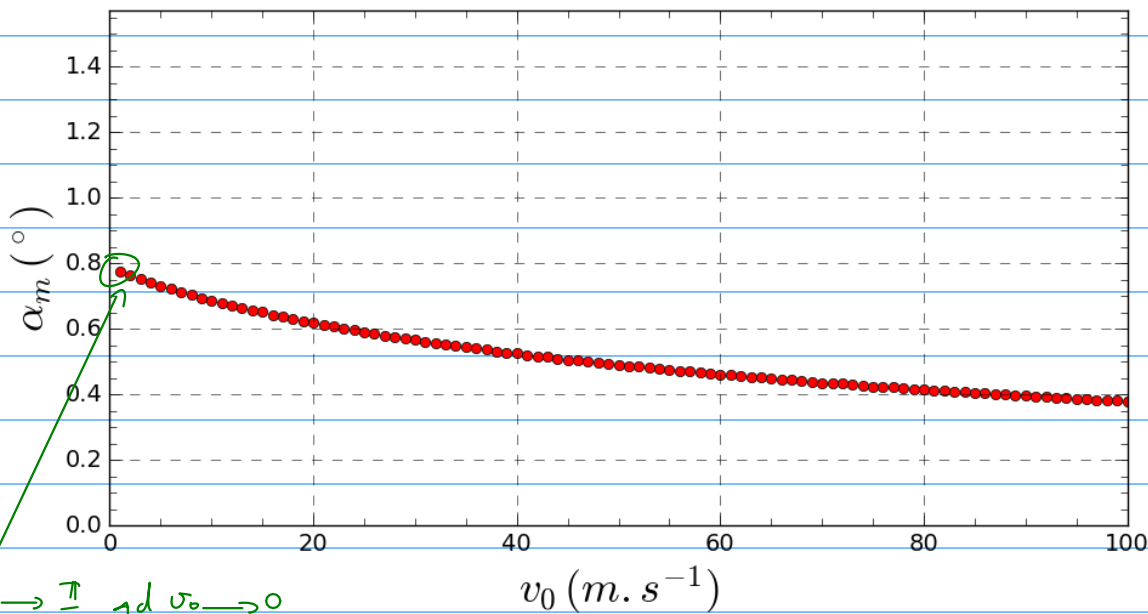
-----INFLUENCE DE v_0 SUR L'ANGLE DE PORTEE MAXIMALE-----

```
v0s=np.linspace(1,100,100)
N=1000#number of tested angles
l_alpham=[]
for v0 in v0s:
    ypm,alpha_m= portee_max(m,l,v0,N)
    l_alpham.append(alpha_m)

plt.figure()
plt.xlabel(r'$v_0$, (m.s-1)$')
plt.ylabel(r'$\alpha_m$, (^\circ)$')
plt.ylim(0,np.pi/2)
plt.plot(v0s,l_alpham,'ro')
plt.savefig('I3_portee_max=f(v0).png',transparent=True)
```

On calcule l'angle de portée maximale pour différentes valeurs de v_0 .

Output:



$\alpha_m \rightarrow \frac{\pi}{4}$ qd $v_0 \rightarrow 0$

coïncident avec l'influence des frottements $\propto \bar{v}$ à la vitesse.

D'après la simulation, pour une onde de frottement linéaire, plus v_0 est élevée plus l'angle de tir donnant une portée maxi est faible.

Rem: pour des vitesses trop élevées, le modèle $\vec{f} = -\lambda \vec{v}$ est à revoir.